

УДК 532.5.031:519.63

ИССЛЕДОВАНИЕ ЭВОЛЮЦИИ СВОБОДНЫХ ГРАНИЦ
ПРИ НЕСТАЦИОНАРНОМ ДВИЖЕНИИ ТЕЛ В ИДЕАЛЬНОЙ
НЕСЖИМАЕМОЙ ЖИДКОСТИ МЕТОДАМИ КОНЕЧНЫХ
И ГРАНИЧНЫХ ЭЛЕМЕНТОВ

АФАНАСЬЕВ К. Е., АФАНАСЬЕВА М. М., ТЕРЕНТЬЕВ А. Г.

Исследование неустановившегося движения жидкости со свободными поверхностями — одна из наиболее сложных задач гидродинамики, и точное решение удастся получить лишь при дополнительных упрощающих предположениях. В связи с интенсивным развитием численных методов появилась возможность численного анализа таких задач.

В настоящей работе методами конечных и граничных элементов исследуется нестационарное движение тел в идеальной несжимаемой жидкости вблизи свободной поверхности над плоским дном. Применяемые методы базируются на двух различных принципах, поэтому сравнение численных результатов позволяет с некоторой достоверностью судить об их эффективности и точности. Описание этих методов можно найти в [1, 2]. Показано, что при импульсивном движении твердого тела из состояния покоя эволюция свободной поверхности аналогична одному из любопытных явлений в гидродинамике, называемому «султаном». На возможность моделирования султана с помощью вертикального импульсивного движения тела указывалось в [3].

1. Постановка задачи и метод решения. Пусть в неподвижной системе координат x, y занятая жидкостью область $\Omega(t)$ ограничена деформируемой свободной границей Γ_1 , неподвижной твердой границей Γ_2 и подвижной границей тела Γ_3 . Рассматривается движение по горизонтальному дну некоторого выступа и вертикальное движение симметричного плоского или осесимметричного тела.

Предполагается, что сначала тело и жидкость находятся в покое, затем в момент времени $t=0$ тело приобретает ненулевую начальную скорость v_0 и движется с произвольной ограниченной скоростью $v(t)$. Задача решается с учетом весомости. На свободной границе Γ_1 давление $p = \text{const}$, на твердых границах Γ_2 и Γ_3 выполняется условие непротекания.

Гидродинамическая задача сводится к решению уравнения Лапласа для потенциала скорости, удовлетворяющего на границах области динамическому и кинематическим условиям

$$\Delta\varphi=0, \quad x=(x, y) \in \Omega(t) \quad (1.1)$$

$$\frac{d\varphi}{dt} - \frac{1}{2} (\nabla\varphi)^2 + gy = 0, \quad x \in \Gamma_1 \quad (1.2)$$

$$v_1 = \nabla\varphi (x \in \Gamma_1), \quad \varphi_n = 0 (x \in \Gamma_2), \quad \varphi_n = v(t) \cdot n (x \in \Gamma_3) \quad (1.3)$$

где v_1 — вектор скорости частицы жидкости на свободной границе.

Кроме того, задается поведение функции на бесконечности ($\varphi \rightarrow 0, x \rightarrow \infty$) и начальное распределение потенциала на свободной границе ($\varphi(x, 0) = 0, x \in \Gamma_1$).

Исходная краевая задача (1.1)–(1.3) нелинейна из-за условия (1.2).

Кроме того, свободная граница Γ_1 неизвестна, что затрудняет непосредственное применение численных методов. Для решения поставленной задачи можно воспользоваться методом последовательного нахождения границы Γ_1 и значения потенциала ϕ по заданным приращениям Δt [4]. Аналогичный подход был успешно применен в [5, 6]. Суть метода заключается в следующем: по заданным в некоторый момент времени t , положению границы Γ_1 и значению на ней потенциала ϕ и градиента $\nabla\phi$, из первого условия (1.3) определяется вектор перемещения $\mathbf{v}_1\Delta t$ и, следовательно, новое положение свободной границы Γ_1 , а из условия (1.2) — новое значение потенциала для момента времени $t=t+\Delta t$.

Таким образом, нелинейная краевая задача в каждый момент времени заменяется линейной смешанной краевой задачей с условиями Неймана на твердых границах и условием Дирихле на свободной границе.

2. Метод конечных элементов. Область течения $\Omega(t)$ принимается конечной и разбивается на N линейных четырехугольных изопараметрических элементов Ω_i

$$\Omega = \bigcup_{i=1}^N \Omega_i, \quad \Omega_\alpha = \bigcap_{\alpha,\beta=1}^N \Omega_\beta = \emptyset \quad (\alpha \neq \beta)$$

Каждый элемент Ω_i отображается на стандартный квадратный элемент $E\{x=x(\xi, \eta), y=y(\xi, \eta), \xi, \eta \in [-1, 1]\}$. Нетрудно показать [7], что для всех элементов Ω_i , когда их углы отличны от 0 и π , якобиан преобразования $J(\xi, \eta)$ отличен от нуля. Если на каждом элементе к уравнению (1.1) применить метод Галеркина, то получится система уравнений

$$A_{ij}\phi_j = F_i \quad (i, j=1-4), \quad A_{ij} = \int_{-1}^1 \int_{-1}^1 (u_i u_j + v_i v_j) \frac{\epsilon}{J} d\xi d\eta \quad (2.1)$$

$$u_k = \frac{\partial N_k}{\partial \xi} \sum_{l=1}^4 \frac{\partial N_l}{\partial \eta} y_l - \frac{\partial N_k}{\partial \eta} \sum_{l=1}^4 \frac{\partial N_l}{\partial \xi} y_l \quad (2.2)$$

$$v_k = \frac{\partial N_k}{\partial \eta} \sum_{l=1}^4 \frac{\partial N_l}{\partial \xi} x_l - \frac{\partial N_k}{\partial \xi} \sum_{l=1}^4 \frac{\partial N_l}{\partial \eta} x_l \quad (k=i, j) \quad (2.3)$$

$$J = \sum_{i=1}^4 x_i u_i, \quad F_i = \int_{\Gamma_i} \epsilon \phi_n N_i d\Gamma$$

В плоском случае $\epsilon=1$, в осесимметричном $\epsilon=2\pi x$, $x=x_i N_i$, A_{ij} — матрица жесткости. Величины x_i, y_i ($i, j=1-4$) — узловые значения координат элемента Ω_i в области $\Omega(t)$. Под координатами x и y понимаются в осесимметричном случае цилиндрические координаты r и z .

Функции формы N_i ($i=1-4$) определяются в случае линейных изопараметрических элементов формулами

$$\begin{aligned} N_1 &= \frac{1}{4} (1-\xi)(1-\eta), & N_2 &= \frac{1}{4} (1+\xi)(1-\eta) \\ N_3 &= \frac{1}{4} (1+\xi)(1+\eta), & N_4 &= \frac{1}{4} (1-\xi)(1+\eta) \end{aligned} \quad (2.4)$$

Поэлементное объединение систем вида (2.1) приводит к глобальной системе уравнений $A\phi=F$ с симметричной ленточной и положительно определенной матрицей A . Система уравнений решается модифицированным методом Гаусса, учитывающим перестроенные свойства матрицы A , коэффициенты которой находятся численным интегрированием по шеститочечной формуле Гаусса.

3. Метод граничных элементов. Основным соотношением метода граничных элементов является интегральное уравнение вида

$$\beta\phi(Q) + \int_{\Gamma} F(P, Q)\phi(P) d\Gamma = \int_{\Gamma} G(P, Q)\phi_n(P) d\Gamma \quad (3.1)$$

$$F(P, Q) = \frac{\partial}{\partial n} G(P, Q)$$

$$\beta=0, \quad Q \notin \Gamma \cup \Omega(t); \quad \beta=1, \quad Q \in \Omega(t); \quad \beta=\omega/2\pi, \quad Q \in \Gamma$$

где $\varphi(Q)$ — потенциал скорости, $G(P, Q)$ — фундаментальное сингулярное решение уравнения Лапласа, P — точка границы Γ , ω — телесный угол, под которым видна граница Γ из точки Q , n — вектор внешней нормали к Γ в точке P .

Функция $G(P, Q)$ для плоского и цилиндрического случаев имеет вид

$$G(P, Q) = \frac{1}{2\pi} \ln \frac{1}{|r-r_0|}, \quad G(P, Q) = \frac{1}{2\pi} \int_0^{\pi/2} \frac{d\theta}{\sqrt{a-b \cos \theta}}$$

$$a=r^2+r_0^2+(z-z_0)^2, \quad b=2rr_0.$$

Функции $G(P, Q)$ и $F(P, Q)$ в осесимметричном случае выражаются через полные эллиптические интегралы первого и второго рода с модулем m и дополнительным модулем $m_1^2=1-m^2$

$$G(P, Q) = \frac{K(m)}{\pi\sqrt{a+b}}$$

$$F(P, Q) = -\frac{K(m)-E(m)}{2\pi r\sqrt{a+b}} n_r + \frac{n_r(r_0-r) + n_z(z_0-z)}{\pi(a-b)\sqrt{a+b}} E(m)$$

$$m^2 = \frac{4rr_0}{(r+r_0)^2 + (z-z_0)^2}, \quad 0 \leq m \leq 1$$

Для вычисления эллиптических интегралов используются конечно-полиномиальные представления [8]

$$K(m) = \sum_{i=0}^n \left[a_i m_1^i + b_i m_1^i \ln \left(\frac{1}{m_1} \right) \right] + \varepsilon(m)$$

$$E(m) = 1 + \sum_{i=1}^n \left[c_i m_1^i + d_i m_1^i \ln \left(\frac{1}{m_1} \right) \right] + \varepsilon(m)$$

при $n=4$, $\varepsilon(m) \leq 2 \cdot 10^{-8}$, a_i, b_i, c_i, d_i — константы.

Переход от уравнения (3.1) к матричному виду осуществляется разбиением границы Γ на конечное число N прямолинейных отрезков Γ_i ($i=1, 2, \dots, N$) и линейной аппроксимацией на каждом элементе функции φ и ее нормальной производной φ_n . В результате получается следующая система уравнений относительно φ и φ_n в узловых точках:

$$\beta_i \varphi_i + \sum_{j=1}^N F_{ij} \varphi_j = \sum_{j=1}^N G_{ij} \frac{\partial \varphi_j}{\partial n}, \quad i=1, 2, \dots, N \quad (3.2)$$

$$F_{ij} = \int_{\Gamma_j} N_1 F(P, Q) d\Gamma + \int_{\Gamma_{j-1}} N_2 F(P, Q) d\Gamma \quad (3.3)$$

$$G_{ij} = \int_{\Gamma_j} N_1 G(P, Q) d\Gamma + \int_{\Gamma_{j-1}} N_2 G(P, Q) d\Gamma \quad (3.4)$$

$$N_1 = \frac{1}{2} (1-\xi), \quad N_2 = \frac{1}{2} (1+\xi), \quad \xi \in [-1, 1]$$

Для вычисления интегралов (3.3) и (3.4) используются шеститочечные квадратурные формулы Гаусса. В случае, когда источник расположен на элементе, по которому ведется интегрирование ($i=j$), интегралы (3.4) имеют логарифмическую особенность и для их вычисления используются квадратурные формулы с логарифмическими весами. Сингулярные интегралы (3.3) вычисляются аналитически в смысле главного значения по Коши.

Систему (3.2) можно представить в виде векторного уравнения $AX=F$ с квадратной матрицей A размера $N \times N$. Система уравнений решается методом Гаусса с частичным выбором ведущего элемента.

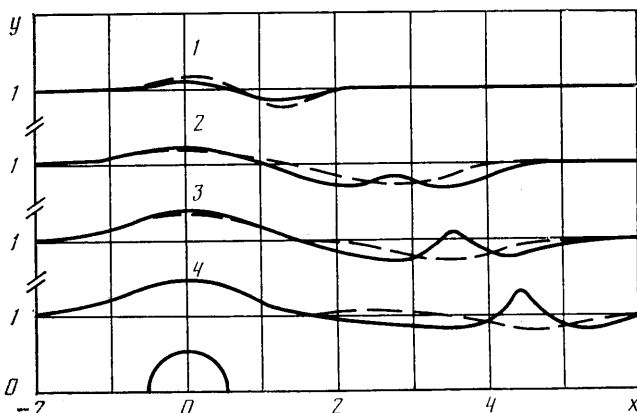
Метод граничных элементов позволяет находить вектор $\nabla\varphi$ через нормальную и касательную составляющие, поскольку из системы (3.2) непосредственно вычисляется нормальная компонента φ_n , а касательная составляющая φ_s определяется по значениям потенциала. Новое положение свободной границы можно найти из соотношений

$$\begin{aligned} \dot{x} &= \varphi_n \cos(n, x) + \varphi_s \cos(n, y) \\ \dot{y} &= \varphi_n \cos(n, y) - \varphi_s \cos(n, x) \end{aligned}$$

В методе конечных элементов компоненты вектора скорости находятся в виде

$$\frac{\partial\varphi}{\partial x} = J^{-1} \sum_{i=1}^4 \varphi_i u_i, \quad \frac{\partial\varphi}{\partial y} = J^{-1} \sum_{i=1}^4 \varphi_i v_i$$

где величины u_i, v_i определяются с помощью формул (2.2) и (2.3). Для контроля и сравнения результатов такой подход использовался и в методе граничных элементов. При этом значения потенциала во внутренних узлах находились из уравнения (3.2) по известному значению потенциала и его нормальной производной на границе.



Фиг. 1

4. Горизонтальное движение тела под свободной поверхностью.

На фиг. 1 показана форма свободной границы при движении с постоянной скоростью v_0 из состояния покоя полукругового цилиндрического выступа диаметра D по горизонтальному дну влево. Размер области $\Omega(t)$ по горизонтали выбирался равным $12D(-8D, 4D)$. На левой и на правой границах ставились условия типа «сноса». Глубина невозмущенной жидкости в указанных сечениях принималась равной R .

Задача решалась в неподвижной системе координат. Вычисления проводились одновременно по двум указанным методам. Максимальное отклонение результатов не превышало 2%.

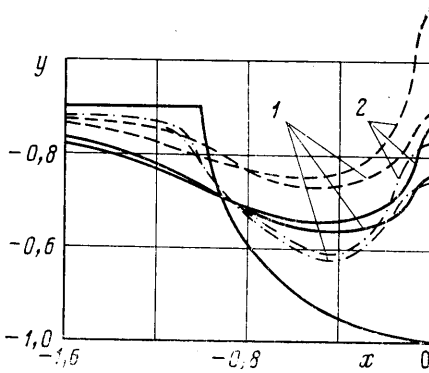
Сетка метода конечных элементов перестраивалась на каждом шаге по времени и состояла из 445 элементов и 504 узлов (при 84 узлах на свободной границе и 10 узлах на теле). В методе граничных элементов бралось 58 узлов (при 28 узлах на свободной границе и 10 узлах на теле). Графики изображены в подвижной системе координат, связанной с телом. Шаг по безразмерному времени $\tau = v_0 t / D$ выбирался равным $\Delta\tau = 0,1$. Абсциссы и ординаты на графиках отнесены к диаметру тела D . Кривые 1-4, соответствующие 10, 28, 35 и 45 шагам по времени, сдвинуты по вертикали одна под другой.

На фиг. 1 пунктирной линией изображается конфигурация свободной границы для невесомой жидкости (число Фруда $Fr = v_0 / \sqrt{gD} = \infty$). За выступом образуется впадина, которая, слабо деформируясь, примерно с той же скоростью v_0 удаляется от тела. Над телом формируется волна, форма которой уже после 30 шагов практически не изменяется; за телом на свободной границе образуется «полочка».

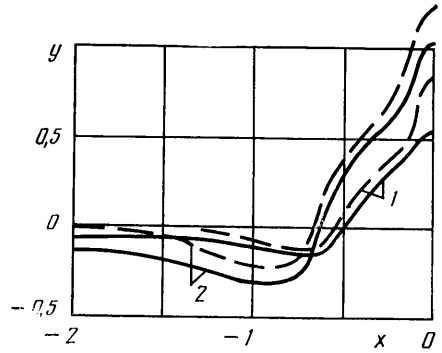
Более сложная картина течения наблюдается при движении тела в тяжелой жидкости. На фиг. 1 сплошной линией показаны расчеты для $Fr=2$. Хорошо видно, как впадина, образовавшаяся за телом, деформируется; в ней появляется всплеск типа кумулятивной струи. Формирование «палочки» начинается после 40 шагов по времени.

Кривые, соответствующие расчетам по обтеканию полукругового цилиндра стационарным потоком идеальной несжимаемой жидкости со свободной границей Γ_1 для $Fr=\infty$, 2 [7, 9], совпадают по конфигурации волны над телом с кривыми 4 на фиг. 1. Отличие лишь в том, что в нестационарном течении имеется уходящая вниз по течению впадина.

5. Моделирование кумулятивной струи и султана. На фиг. 2 показана эволюция свободной границы, первоначально образующей цилиндрическую или сферическую впадину. Формирование кумулятивной струи в плоском случае, при схлопывании цилиндрической впадины, как само-



Фиг. 2



Фиг. 3

стоятельная задача было рассмотрено ранее методом электрогидродинамической аналогии (ЭГДА) [4]. Цифрами 1 и 2 обозначены кривые, соответствующие моментам безразмерного времени $\tau=t\sqrt{g/R}$, равным $66 \cdot 10^{-2}$ и $69 \cdot 10^{-2}$, R — радиус невозмущенной впадины. Штриховой линией изображена форма кумулятивных струй в осесимметричном случае, сплошной и штрихпунктирной — в плоском случае. Штрихпунктирная кривая получена методом ЭГДА [4]. Остальные кривые — методами конечных и граничных элементов. Различие плоских кривых объясняется, по-видимому, недостаточной точностью метода ЭГДА. Кроме того, по сравнению с [4] при расчетах по описанным методам полностью выполняется закон сохранения площадей. Все линейные размеры на графиках отнесены к радиусу R .

Процесс схлопывания впадины можно условно разделить на два этапа: медленный ($\tau < 60 \cdot 10^{-2}$) — зарождение струи и быстрый ($\tau > 60 \cdot 10^{-2}$) — выброс струи. Поэтому на первом этапе счет велся с шагом $\Delta\tau=0,1$, на втором — $\Delta\tau=0,01$. Количество элементов и число узлов выбирались такими же, как и при движении тела. Непосредственно на границе впадины в методе конечных элементов бралось 20 узлов, в методе граничных элементов — 18 узлов. Область $\Omega(t)$ имела размеры в глубину — $4R$, в ширину $\pm 5R$. На границах усеченной области удовлетворялось условие $\varphi=0$.

На фиг. 3 показана эволюция свободной границы невесомой жидкости при вертикальном импульсивном движении эллипса (в плоском случае) и эллипсоида (в осесимметричном) с соотношением осей 4:5 (большая ось R направлена по оси y). В начальный момент времени центр эллипса находился на глубине $h=2R$ от свободной поверхности, затем с

постоянной скоростью v_0 продвинулся к свободной границе на расстояние $1,5R$ и остановился.

Кривые 1 и 2 соответствуют 15 и 20 шагам по безразмерному времени $\tau = v_0 t / R$, с шагом $\Delta\tau = 0,1$. Размеры области, отнесенные к величине R , принимались равными 4 в глубину и ± 5 в ширину. Количество узлов на теле равнялось 20. Граничные условия и общее число узлов брались такими же, как и в предыдущих задачах. Сплошными линиями изображается форма свободной границы в плоском случае, штриховой — в осесимметричном.

Экспериментальное моделирование султана [3] показало, что при выходе тела из воды и его резкой остановке наблюдается сильный продольный градиент скорости вдоль оси симметрии. Полученные численные результаты подтверждают этот факт. Расчеты показывают, что нормальная скорость в точках вершины струи к 15-му шагу по времени в плоском случае достигает значения $\varphi_n = 0,71v_0$, в осесимметричном — $\varphi_n = 0,8v_0$.

ЛИТЕРАТУРА

1. Коннор Дж., Бреббиа К. Метод конечных элементов в механике жидкости. Л.: Судостроение, 1979. 263 с.
2. Бенерджи П., Баттерфилд Р. Методы граничных элементов в прикладных науках. М.: Мир, 1984. 494 с.
3. Кедринский В. К. Модели М. А. Лаврентьева в задачах неустановившихся течений со свободными границами.— В кн.: Проблемы математики и механики. Новосибирск: Наука, 1983. с. 97–116.
4. Лаврентьев М. А., Шабат Б. В. Проблемы гидродинамики и их математические модели. М.: Наука, 1977. 407 с.
5. Константинов Г. А., Якимов Ю. Л. Численный метод решения нестационарных осесимметричных задач гидромеханики идеальной жидкости со свободными поверхностями.— Изв. АН СССР. МЖГ, 1969, № 4, с. 162–165.
6. Воинов О. В., Воинов В. В. Численный метод расчета нестационарных движений идеальной несжимаемой жидкости со свободными поверхностями.— Докл. АН СССР, 1975, т. 221, № 3, с. 559–562.
7. Афанасьев К. Е., Терентьев А. Г. Применение метода конечных элементов в задачах со свободными границами.— В кн.: Динамика сплошной среды с нестационарными границами. Чебоксары: Изд-во Чувашского ун-та, 1984, с. 8–17.
8. Справочник по специальным функциям/Под ред. Абрамовица М., Стиган И. М.: Наука, 1979. 830 с.
9. Афанасьева М. М. Применение метода граничных элементов в задачах идеальной жидкости со свободными границами.— В кн.: Взаимодействие тел с границами раздела сплошной среды. Чебоксары: Изд-во Чувашского ун-та, 1985, с. 15–19.

Чебоксары

Поступила в редакцию
30.IX.1985